

استخراج نانوذره‌های سیلیکای متخلخل آریخت با سطح ویژه بالا از مواد طبیعی به روش سل-ژل

عرفان آفشاھی اردستانی^۱، سیدجمال شیخ ذکریائی^{۲*}، مستانه حاجی پور شیرازی فرد^{۳**} و بهنام میرشکاری^۳

۱. دانشجوی دکترای گروه مهندسی نفت، واحد علوم و تحقیقات، دانشگاه آزاد اسلامی، تهران، ایران.
۲. استادیار گروه علوم زمین، واحد علوم و تحقیقات، دانشگاه آزاد اسلامی، تهران، ایران.
۳. استادیار گروه مهندسی نفت، واحد علوم و تحقیقات، دانشگاه آزاد اسلامی، تهران، ایران.

دربافت: آذر ۱۴۰۲ بازنگری: اسفند ۱۴۰۲ پذیرش: اسفند ۱۴۰۲



<https://doi.org/10.30495/JACR1.1404.1044881>

چکیده

افزایش تقاضا برای مصرف برنج، منجر به تولید حجم انبوھی از پوست برنج (RHs) می‌شود که استفاده از آن در صنایع متفاوت می‌تواند مشکل دفع پوست برنج (RHs) به عنوان پسماند را برطرف کند. در این پژوهش، نانوذره‌های سیلیکای متخلخل آریخت با سطح ویژه بالا از RHs به روش سل-ژل با بازده بالا استخراج شد. این نانوذره‌ها سطح ویژه، واکنش‌پذیری و فعالیت بالایی نسبت به حال بلوری آن داشتند. برای شناسایی نانوذره‌ها، روش‌های پراش پرتو ایکس (XRD)، طیف‌سنجی فروسرخ تبدیل فوریه (FTIR)، طیف‌سنجی فلورسانس پرتو ایکس (XRF)، طیف‌سنجی تفکیک انرژی (EDS)، میکروسکوپی الکترونی روبشی گسیل میدانی (FESEM)، میکروسکوپی الکترونی عبوری (TEM)، پراکنده‌گی نور دینامیکی (DLS)، BET و BJH به کارگرفته شد. نتیجه‌ها نشان داد که نانوذره‌ها آریخت هستند و گروه‌های عاملی هیدروکسیل بر سطح آن‌ها قرار دارند. روش DLS نشان داد که توزیع اندازه نانوذره‌های سنتزشده از ۵ تا ۴۰ نانومتر متغیر و میانگین قطر آن‌ها به طور تقریبی ۱۴/۶ نانومتر بود. درصد خلوص و مساحت سطح ویژه (SSA) نانوذره‌ها به ترتیب ۹۸/۴۱ درصد و ۸۶۷ m²/g به دست آمد.

واژه‌های کلیدی: سل-ژل، نانوسیلیکا، متخلخل، آریخت، مواد طبیعی.

روش‌ها سل-ژل است. به طور کلی مزیت روش سل-ژل نسبت به سایر روش‌ها این است که نیازی به تجهیزات پیچیده و گران‌قیمت برای سنتز ندارد. افزون بر آن، بازده بالایی دارد و به کارگیری آن منجر به دستیابی به نانوذراتی آریخت با سطح ویژه بالا^۱ (SSA) و ویژگی‌های یگانه خواهد شد [۱ و ۲]. گام

مقدمه

در استفاده از فناوری نانو در صنعت یک اصل مهم وجود دارد و آن هم بحث اقتصادی‌بودن استفاده از نانوذره‌ها در حجم بالا است. بنابراین، به روش دستیابی به نانوذره که در واقع عاملی مهم در تعیین هزینه‌ها است، باید توجه شود. روش‌های بسیاری برای سنتز نانوذره‌ها وجود دارد. یکی از این

1. Specific surface area (SSA)

شیخ ذکریائی و حاجی پور شیرازی فرد و همکاران

کربن اشاره کرد [۶]. لازم به ذکر است که سیلیکای آریخت به دست آمده از مواد طبیعی، سطح ویژه بالا و ویژگی‌های بی‌همتایی دارد که در حالت بلوری آن وجود ندارد. همچنین، دوستدار محیط‌زیست است. در حالی که برپایه آخرين گزارش‌های آزانس بین‌المللی پژوهش‌های سرطان (IARC) و سازمان بهداشت جهانی (WHO) سیلیکا بلوری متعلق به گروه اول مواد سرطان‌زا برای انسان است که استفاده از آن در صنعت، موجب ورود آن به محیط‌زیست و به دنبال آن افزوده‌شدن به زنجیره غذایی انسان و ایجاد مشکل‌های اساسی برای جامعه می‌شود [۷]. در این پژوهش، با استفاده از مواد طبیعی و روش کوتاه و پر بازده سل-ژل، نانوذره‌ها با سطح ویژه بالا تولید شدند. استفاده از ماده زائد حاوی سیلیکا RHs موجب ایجاد ارزش افزوده و عدم وابستگی به تأمین مواد اولیه مورد نیاز از سایر کشورها برای تولید نانوسیلیکا در مقیاس صنعتی و به کارگیری آن در صنعت می‌شود. شناسایی نانوذره‌ها با روش‌های XRD، FTIR، طیف‌سنجدی فلورورسانس پرتو ایکس (XRF)، طیف‌سنجدی تفکیک انرژی (EDS)، FESEM، TEM، پراکنده‌گی نور دینامیکی (DLS)^{۱۱}، BET^{۱۲} و BJH^{۱۳} انجام شد.

بخش تجربی

در این مطالعه، روش سل-ژل برای سنتز نانوذره‌ها به کارگرفته شد. به طور کلی مزیت روش سل-ژل نسبت به سایر روش‌ها این است که نیاز به تجهیزات پیچیده و گران‌قیمت ندارد. افزون‌برآن، بازده بالایی دارد و منجر به دست‌یابی به نانوذره‌های آریخت با سطح ویژه بالا (SSA) و ویژگی‌های بی‌همتایی می‌شود [۸].

بعد انتخاب پیش‌ساز مناسب برای سنتز نانوذره‌ها است که در این مرحله قیمت پیش‌ساز، در دسترس بودن آن و مقدار نانوذراتی که می‌توان از آن استخراج کرد از عامل‌های تعیین‌کننده در انتخاب نوع پیش‌ساز است [۳]. پس از بررسی‌های گسترده با درنظر گرفتن عامل‌های بسیاری مانند ارزان بودن پیش‌ساز، در دسترس بودن و بازدهی بالای آن در تولید نانوذره‌ها، استفاده از پوسته برنج (RHs)^۱ به عنوان بهترین گزینه انتخاب شد [۴ و ۵]. پس از برداشت خرمن برنج^۲ از مزارع، نیاز هست تحت عملیات خرمن کوبی^۳ دانه‌های برنج که حاوی غلاف^۴ یا همان پوسته هستند (شلتوك برنج^۵) از ساقه خود جدا شوند. با جدا کردن پوسته^۶، برنجی که بدست می‌آید به رنگ قهوه‌ای است که قهوه‌ای بودن آن به دلیل لایه سبوس^۷ است. برنج قهوه‌ای^۸ در آخر با عملیات آسیاب^۹ که سازوکاری متفاوت با آسیاب‌های معمول دارند سفید و روانه بازار می‌شوند. در بسیاری از پژوهش‌ها دیده می‌شود که پوسته برنج (RHs) را همان سبوس برنج در نظر داشته‌اند. در اینجا باید به این نکته اشاره شود که سبوس برنج حاوی مواد مغزی است و به عنوان بخشی از جیره غذایی دام و طیور کاربرد دارد. در حالی که غلاف یا پوسته برنج بیشتر از لگنین و سلولز تشکیل شده و قادر ارزش غذایی محسوسی است. راه‌های متفاوتی برای دفع^{۱۰} RHA با کاربرد تجاری وجود دارد. بخش زیادی (۸۳ تا ۹۰ درصد) از RHA سیلیکا آریخت است که کاربردهای گسترده‌ای دارد. برای مثال، می‌توان به تولید ژل سیلیکا، تراشه سیلیکونی، سنتز کربن فعال و سیلیکا، تولید مواد سبک در صنایع عمرانی، تهییه کاتالیست‌ها و زئولیت‌ها، مواد برای باتری‌های لیتیمی، گرافن، ذخیره‌سازی انرژی/خازن و جذب

1. Rice husks
2. Wheat
3. Threshing process
4. Husk
5. Pady
6. Hulling process
7. Bran

8. Brown Rice
9. Milling process
10. Rice husk ash
11. Dynamic light scattering (DLS)
12. Brunauer, Emmet, and Teller (BET)
13. Barrett, Joyner, and Halenda (BJH)

استخراج نانوذرهای سیلیکای متخلخل آریخت با سطح ویژه بالا از مواد ...

تشکیل شده در محیط واکنش بهطور کامل خارج شود. در شکل ۱ نمایی از هیدروژل ستزشده از WG نشان داده شده است.



شکل ۱ هیدروژل ستزشده از WG

فرایند پیرسازی^۳
در این مرحله برای حفظ تخلخل در فرایند خشک کردن، آب موجود در حفره های ژل با اتانول جایگزین و برای ایجاد استحکام در ساختار ژل از سیلیکون آلکوکسید و تتراتیل اورتوسیلیکات (^۴TEOS) استفاده شد. بنابراین، سیلیکاژل به مدت ۴۸ ساعت در بسته حاوی اتانول و TEOS قرار داده شد تا فرایند بسپارش تکمیل و سیال موجود در حفره ها جایگزین شود.

خشک کردن انجام داد^۵

برای دست یابی به پودر سیلیکای آریخت با قراردادن ژل مرحله پیش به مدت ۴۸ ساعت درون دستگاه یخزن و سپس، خشک کردن آن با دستگاه خشک کن انجام داد (Mdl-4 Fdcf، Operon Co., Ltd, Korea) پودر نانوذرهای سیلیکا به دست آمد (شکل ۲) [۹].

RHS ژستش
ابتدا RHS بر روی الک شماره ۳۰ (۵۹۵ میکرومتر) ریخته شد تا ساقه های بلند و مواد زائد همراه آن جدا شود. سپس، با آب شسته شد تا آلودگی و گرد خاک آن حذف شود. در ادامه مواد شسته شده به مدت ۲۴ ساعت در دمای ۱۲۰ درجه سلسیوس درون دستگاه خشک کن^۱ قرار داده شد تا به طور کامل خشک و آب بین رشته های آن خارج شود. برای کاهش حجم با آسیاب خرد و درون خشکانه قرار داده شد.

فرایند کلسانه کردن

کلسانه کردن RHS خرد شده با ریختن درون بوته های چینی و قراردادن آن در کوره الکتریکی با نرخ دمای ۱۰ درجه در هر دقیقه به مدت ۳ ساعت در دمای ۷۰۰ درجه سلسیوس انجام شد تا مواد آلی آن حذف و سیلیکای معدنی استخراج شود.

سترن آب شیشه^۲

در ادامه با سامانه سوکسله، پودر کلسانه شده به دست آمده در مرحله پیشین با محلول سدیم هیدروکسید ۱ نرمال واکنش داده شد تا سدیم سیلیکات (Na_2SiO_3) یا همان آب شیشه (WG) تشکیل شود. سپس، با کاغذ صافی و اتمن، قیف بوخر و پمپ خلا، محتویات سوکسله صاف شد تا ناخالص های موجود حذف شود.

سترن ژل سیلیکا

با افزودن هیدروکلریدریک اسید ۲ نرمال به محلول سدیم سیلیکات (WG) تهیه شده، فرایند بسپارش سیلیکا رخ داد که این موضوع منجر به تشکیل ژل سیلیکا شد. به دلیل وجود آب به عنوان حلال در بستر این نوع ژل ها به آن ها هیدروژل نیز گفته می شود و به بستر هایی که حلال آن ها در زمان تشکیل ژل از خانواده الکل ها باشند، الکوژل گفته می شود. ژل سیلیکا تشکیل شده با آب مقطر چندین مرتبه شسته شدند تا نمک های

1. Oven

2. Aging process

3. Tetraethyl orthosilicate

4. Freeze drying

ISO15901-3(2007) دستگاه TriStar II Plus ساخت ایالات متحده آمریکا به کار گرفته شد. برای تعیین گروههای عاملی موجود در نانوذرهای سنتز شده، طیف سنج فروسرخ تبدیل فوریه (FTIR) Bomem MB-Series FTIR Spectrometer با طیف سنج مدل به کار گرفته شد.

نتیجه‌ها و بحث

الگوی XRD نانوذرهای سنتز شده

الگوی پراش پرتو ایکس نانوذرهای سنتز شده در شکل ۳ آورده شده است. قله‌های بلند که مovid ایجاد ساختار بلوری باشد در این الگو قابل مشاهده نیست و فقط یک قله پهن در گستره ۱۵ تا ۳۰ درجه در این الگو مشاهده می‌شود که به تپه آربیختی مشهور و نشان‌دهنده سیلیکا است [۱۲]. عدم نمایش قله‌های دیگر در گستره نشان‌گر فاز سیلیکا در این الگو، خلوص بالای نمونه سنتز شده را بدون ایجاد فاز ناخواسته در طول فرایند سنتز تایید می‌کند [۱۳ و ۱۴].

طیف FTIR نانوذرهای سنتز شده

طیف FTIR نانوذرهای سنتز شده در شکل ۴ نشان داده شده است. نوار پدیدار شده در عدد موج cm^{-1} ۳۴۰۰ نشان‌دهنده ارتعاش‌های کششی مربوط به گروههای سیلانول ($\equiv Si-OH$) و هیدروکسیل ($O-H$) در سیلیکا و مولکول‌های آب جذب شده در سطح آن است. غلظت این پیوندهای سیلانوں ($\equiv Si-OH$) میزان فعالیت سطحی نانوذرهای سنتز شده را تعیین می‌کند. این فعالیت به توانایی ذره‌های نانوسیلیکا برای شرکت در واکنش‌های شیمیایی متفاوت با مواد دیگر و درجه ماهیت آب‌گریز سطح مربوط می‌شود [۱۵]. نوار جذب ضعیف در حدود cm^{-1} ۱۶۰۰ نشان‌دهنده ارتعاش‌های خمشی مربوط به پیوندهای هیدروژنی با گروههای هیدروکسیل ($H-OH$) مولکول‌های آب جذب شده است. افزون بر این، نوارهای جذب در cm^{-1} ۸۰۳/۰۹ و ۶۶۹/۰۷ به ترتیب مربوط به ارتعاش کششی نامتقارن، ارتعاش کششی متقارن و ارتعاش



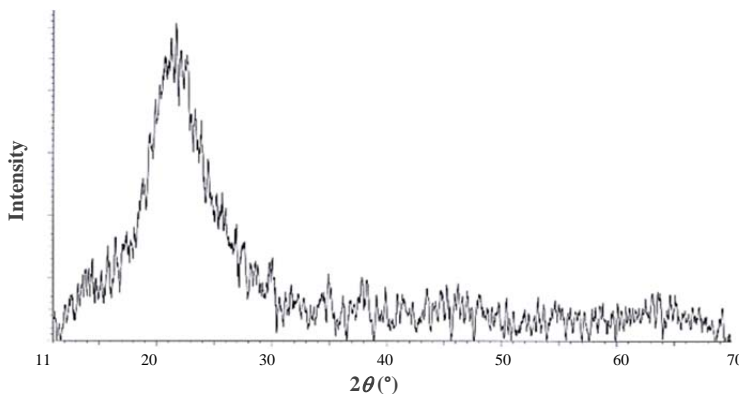
شکل ۲ طرح‌واره کلی از مراحل سنتز: (الف)، کلسینه شده (ب) و نانوذرهای SiO_2 آربیخت (ج)

مشخصه‌یابی نانوذرهای سنتز شده پراش پرتو ایکس (XRD) برای تعیین فاز بلوری نانوذرهای سنتز شده، برپایه استاندارد مرجع EN 13925-1 2008 EN پراش سنج مدل X'Pert PRO-MPDPA Nalytical ساخت هلند و منبعی از جنس Cu با ولتاژ 40 kV و شدت جریان ثابت 30 mA شد. میکروسکوپ FESEM MIRA3-TESCAN-XMU مدل مجهز به سامانه EDS برای بررسی ریخت و تجزیه عنصری نمونه سنتز شده به کار گرفته شد [۱۰ و ۱۱]. بدليل نارسانابودن نانوذرهای SiO_2 پودر نمونه با طلا پوشش داده شد تا رسانای جریان الکتریکی باشد. همچنین، برای بررسی بیشتر ریخت نانوذرهای سنتز شده، میکروسکوپ الکترونی عبوری (TEM) مدل Zeiss LEO-906 ساخت آلمان در 80 keV به کار گرفته شد. نظر به اینکه سیلیکا به طور ذاتی ویژگی چسیدگی دارد، برای جداسازی نانوذرهای سنتز شده، نانوذرهای سیلیکا با دستگاه فرآصوت پراکنده شدند تا جداسازی نانوذرهای سنتز شده از یکدیگر صورت گیرد. برای تعیین اندازه نانوذرهای سنتز شده، دستگاه پراکنده نور دینامیکی (DLS) مدل Quidix Scatteringoscope I، ساخت کشور کره به کار گرفته شد. برای شناسایی نوع و مقدار عناصر موجود در نانوذرهای سنتز شده با روش XRF، دستگاه ARL 8410 و استاندارد مرجع با روش ASTM E 1621-21 به کار گرفته شد. تعیین سطح ویژه (SSA)، حجم تخلخل، میانگین قطر منافذ، با روش BET و محاسبه توزیع اندازه منافذ، با روش BJH انجام شد. برای اندازه‌گیری عامل‌های ذکر شده برپایه استاندارد مرجع BS ISO 15901-2(2007)/BS

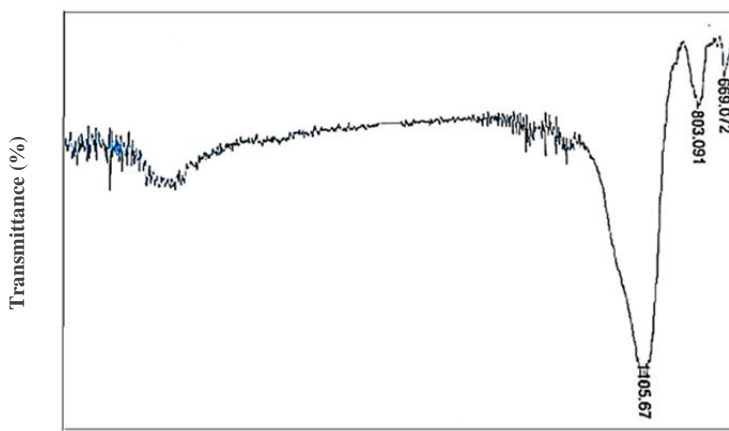
نشان داده شده است. همان‌گونه که مشاهده می‌شود اندازه ذره‌ها در گستره نانو هستند. همچنین، شبکه معروف به گردنبند مرواریدی ذره‌های ثانویه‌ای که در مواد متسطحفره وجود دارد [۱۷]، از ذره‌های اولیه سیلیکا که به صورت فشرده در کنار یکدیگر قرار گرفته‌اند، تشکیل شده و در تصویر TEM قابل مشاهده است.

خمشی مربوط به پیوندهای سیلوکسان ($\equiv\text{Si}-\text{O}-\text{Si}\equiv$) در ساختار چهاروجهی اکسیژن-سیلیکون است [۱۶].

تصویرهای *TEM* و *FESEM* نانوذرهای سنتزشده تصویر *FESEM* به دست‌آمده از سطح پودر نانوذرهای سنتزشده در شکل ۵ آورده شده است. تصویر میکروسکوپ الکترونی عبوری (TEM) نانوذرهای سنتزشده در شکل ۶



شکل ۳ الگوی پراش پرتو ایکس نانوذرهای سنتزشده



شکل ۴ طیف FTIR نانوذرهای سنتزشده

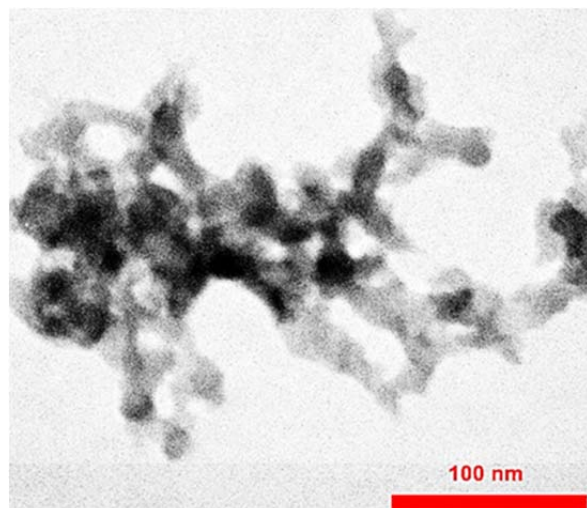
نانوذرهای سنتزشده با روش XRF در جدول ۱ گزارش شده است. نتیجه‌ها نشان داد که نوع ترکیب شیمیایی سنتزشده به خوبی قابل مشاهده است. همچنین، نتیجه تجزیه عنصری

طیف EDS نمونه پودری سنتزشده در شکل ۷ نشان داده شده است. قله‌های مربوط به دو عنصر اکسیژن و سیلیکا، به خوبی قابل مشاهده است. همچنین، نتیجه تجزیه عنصری

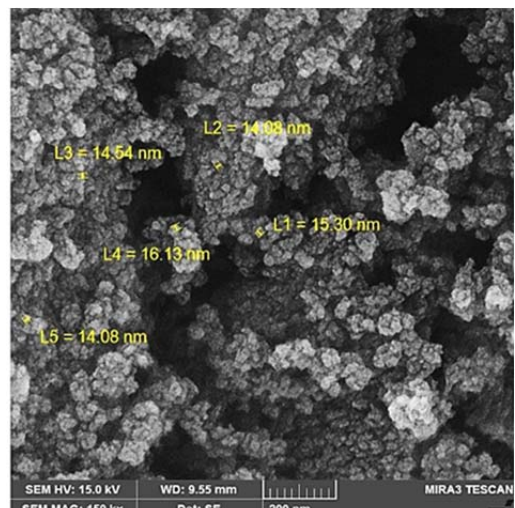
DLS^۱ تجزیه

نتیجه به دست آمده از تجزیه DLS بیانگر این نکته بود که اندازه نانوذرهای سنتز شده از ۵ تا ۴۰ نانومتر متغیر و میانگین قطر آنها به طور تقریبی ۱۴/۶ نانومتر بود (شکل ۸).

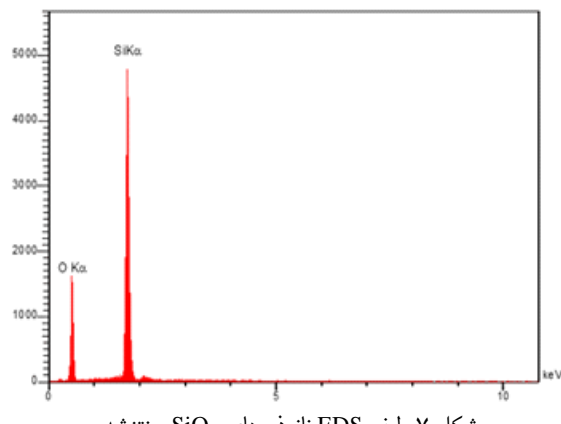
سیلیکون دی اکسید (SiO_2) و درصد خلوص آن ۹۸/۴۱ درصد بود.



شکل ۶ تصویر TEM از سیال فراصوت شده حاوی نانوذرهای متخلخل SiO_2



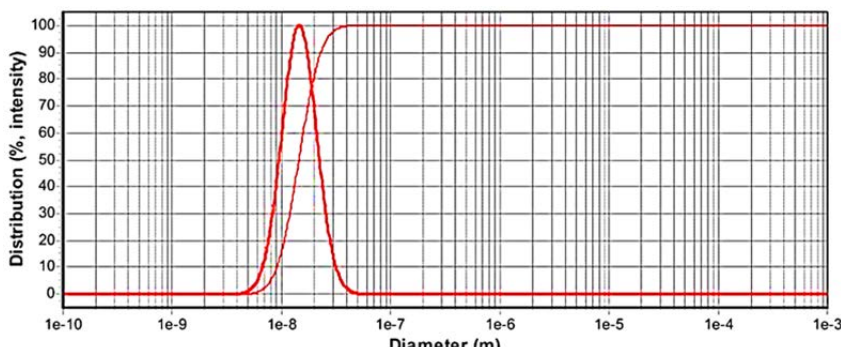
شکل ۵ نمایی نزدیک از نانوذرهای SiO_2 سنتز شده



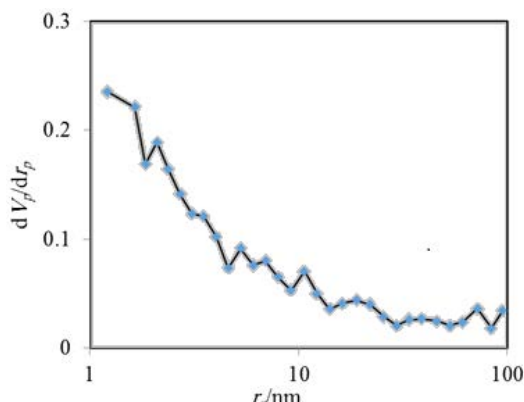
شکل ۷ طیف EDS نانوذرهای SiO_2 سنتز شده

جدول ۱ درصد وزنی ترکیب‌های موجود در نانوذرهای سنتز شده به دست آمده با روش XRF

SiO_2	P_2O_5	SO_3	Fe_2O_3	MgO	K_2O	CaO	Na_2O	Al_2O_3	ترکیب
۹۸/۴۱	۰/۲۹	۰/۶۳	۰/۰۷	۰/۰۱	۰/۱۳	۰/۰۵	۰/۳۷	۰/۰۴	درصد وزنی



شکل ۸ نمودار DLS نانوذرهای سنتزشده



شکل ۹ نتیجه تجزیه BJH بر نانوذرهای سنتزشده

نتیجه‌گیری

در این پژوهش، نانوذرهای سیلیکای متخلخل از مواد زائد کشاورزی (RHS) با روش سل-ژل سنتز شد. نانوذرهای آریخت سنتزشده، متوسط‌حفره با خلوص و سطح ویژه مناسب بودند. به طور کلی، نتیجه‌های بدست‌آمده را می‌توان به صورت زیر خلاصه کرد:

۱. از RHS می‌توان به عنوان منبعی مناسب و اقتصادی برای تولید نانوذرهای SiO_2 استفاده کرد.
۲. روش سل-ژل برای تولید نانوذرهای RHS روشی کارآمد و مناسب است.

ویژگی‌های فیزیکی نانوذرهای سنتزشده سطح ویژه (SSA)، حجم متخلخل و میانگین قطر حفره‌ها نانوذرهای سنتزشده در جدول ۲ ارائه شده است. این جدول، نتیجه‌های بدست‌آمده از تجزیه و تحلیل BET را نشان می‌دهد. وجود حفره‌های نانومتری با میانگین قطر 16.7 nm می‌داند. بیشترین فراوانی را دارند و با افزایش قطر آن‌ها، فراوانی آن‌ها کاهش می‌یابد. این اندازه حفره می‌تواند متعلق به کانال‌های بین ذره‌های اولیه باشد. حفره‌های با ابعاد ۲ تا 50 nm نانومتر فضای بین ذره‌ها هستند که در گستره متوسط‌حفره‌ها گروه‌بندی می‌شوند. مساحت سطح نانوذرهای سنتزشده با توجه به تجزیه و تحلیل BET برابر با $867 \text{ m}^2 \text{ g}^{-1}$ به دست آمد (جدول ۲).

جدول ۲ نتیجه‌های آزمون BET بر نانوذرهای سنتزشده

نقاطه‌ای ۹	$((p/p_0) = 0.276)$ گستره حد BET
$867 \text{ m}^2 \text{ g}^{-1}$	مساحت سطح
$3622 \text{ cm}^3 \text{ g}^{-1}$	حجم کل حفره‌ها $((p/p_0) = 0.990)$
16.70 nm	میانگین قطر حفره‌ها

شیخ ذکریائی و حاجی پور شیرازی فرد و همکاران

۵. نتیجه به دست آمده از XRF نشان داد که نوع ترکیب شیمیایی سنتز شده سیلیکون دی اکسید و درصد خلوص آن ۹۸/۴۱ بود.

۶. با به کارگیری روش BET مساحت سطح نانوذرهای سنتز شده، برابر با $867 \text{ m}^2 \text{ g}^{-1}$ به دست آمد.

۳. طیف FTIR بیانگر قرارگیری گروه عاملی OH بر روی سطح نانوذرهای سنتز شده بود.

۴. الگوی پراش پرتو ایکس (XRD) نانوذرهای سنتز شده، بیانگر آریخت بودن سیلیکا سنتز شده بود.

مراجع

- [1] Zarei V, Emamzadeh A, Nasiri A. Synthesis of amorphous silica nanoparticles from natural materials applied in drilling fluid for stabilizing shale layers. *J Pet Res.* 2018;27(96–6):18–31. doi: [10.22078/pr.2017.2683.2232](https://doi.org/10.22078/pr.2017.2683.2232)
- [2] Stöber W, Fink A, Bohn E. Controlled growth of monodisperse silica spheres in the micron size range. *J Colloid Interface Sci.* 1968;26(1):62–69. doi: [org/10.1016/0021-9797\(68\)90272-5](https://doi.org/10.1016/0021-9797(68)90272-5)
- [3] Dias LS, Alves AK. Silica nanoparticles: Morphology and applications. In: Alves AK, editor. *Technological Applications of Nanomaterials*. Germany: Springer; 2022. p. 89–106.
- [4] Zarei V, Nasiri A. Stabilizing Asmari Formation interlayer shales using water-based mud containing biogenic silica oxide nanoparticles synthesized. *J Nat Gas Sci Eng.* 2021;91:103928. doi: [10.1016/j.jngse.2021.103928](https://doi.org/10.1016/j.jngse.2021.103928)
- [5] Zarei V, Mirzaasadi M, Davarpanah A, Nasiri A, Valizadeh M, Hosseini MJS. Environmental method for synthesizing amorphous silica oxide nanoparticles from a natural material. *Processes.* 2021;9(2):334. doi: [10.3390/pr9020334](https://doi.org/10.3390/pr9020334)
- [6] Pode R. Potential applications of rice husk ash waste from rice husk biomass power plant. *Renew Sustain Energy Rev.* 2016;53:1468–85. doi: [org/10.1016/j.rser.2015.09.051](https://doi.org/10.1016/j.rser.2015.09.051)
- [7] Leem JH, Lee J, Kim HC, Hwang SS, Lee BE, Park H, et al. Necessity for a national carcinogen list in Korea, based on international harmonization. *Environ Health Toxicol.* 2013;28. doi: [10.1016/j.egeyr.2021.08.130](https://doi.org/10.1016/j.egeyr.2021.08.130)
- [8] Zarei V, Yavari H, Nasiri A, Mirzaasadi M, Davarpanah A. Implementation of amorphous mesoporous silica nanoparticles to formulate a novel water-based drilling fluid. *Arab J Chem.* 2023;16(8):104818. doi: [org/10.1016/j.arabjc.2023.104818](https://doi.org/10.1016/j.arabjc.2023.104818)
- [9] Pan Y, Zhang H, Zhao Y, Wang H, Shi X, Yang Y, et al. Low thermal-conductivity and high thermal stable silica aerogel based on MTMS/Water-glass co-precursor prepared by freeze drying. *Mater Des.* 2017;113:246–53. doi: [10.1016/j.matdes.2016.09.083](https://doi.org/10.1016/j.matdes.2016.09.083)
- [10] Mousavipour N, Babaei S, Moghimipour E, Moosavi-Nasab M, Ceylan Z. A novel perspective with characterized nanoliposomes: Limitation of lipid oxidation in fish oil. *LWT.* 2021;152:112387. doi: [org/10.1016/j.lwt.2021.112387](https://doi.org/10.1016/j.lwt.2021.112387)
- [11] Feng Y, Zarei V, Mousavipour N. Provision and assessment properties of nanoliposomes containing macroalgae extracts of *Sargassum boveanum* and *Padina pavonica*. *LWT-Food Sci Technol.* 2023;175:114194. doi: [org/10.1016/j.lwt.2022.114194](https://doi.org/10.1016/j.lwt.2022.114194)
- [12] Liu K, Feng Q, Yang Y, Zhang G, Ou L, Lu Y. Preparation and characterization of amorphous silica nanowires from natural chrysotile. *J Non Cryst Solids.* 2007;353(16–17):1534–9. doi: [org/10.1016/j.jnoncrysol.2007.01.033](https://doi.org/10.1016/j.jnoncrysol.2007.01.033)
- [13] Tadjarodi A, Haghverdi M, Mohammadi V. Preparation and characterization of nanoporous silica aerogel from rice husk ash by drying at atmospheric pressure. *Mater Res Bull.* 2012;47(9):2584–9. doi: [org/10.1016/j.materresbull.2012.04.143](https://doi.org/10.1016/j.materresbull.2012.04.143)
- [14] Thuadaij N, Nuntiya A. Preparation of nanosilica powder from rice husk ash by precipitation method. *Chiang Mai J Sci.* 2008;35(1):206–11.
- [15] Wang L-J, Zhao S-Y, Yang M. Structural characteristics and thermal conductivity of

- ambient pressure dried silica aerogels with one-step solvent exchange/surface modification. Mater Chem Phys. 2009;113(1):485–90. doi: [org/10.1016/j.matchemphys.2008.07.124](https://doi.org/10.1016/j.matchemphys.2008.07.124)
- [16] Rahman IA, Vejayakumaran P, Sipaut CS, Ismail J, Bakar MA, Adnan R, et al. An optimized sol-gel synthesis of stable primary equivalent silica particles. Colloids Surfaces A Physicochem Eng Asp. 2007;294(1-3):102–10. doi: [10.1016/j.colsurfa.2006.08.001](https://doi.org/10.1016/j.colsurfa.2006.08.001)
- [17] Zhang G, Dass A, Rawashdeh A-MM, Thomas J, Counsil JA, Sotiriou-Leventis C, et al. Isocyanate-crosslinked silica aerogel monoliths: preparation and characterization. J Non Cryst Solids. 2004;350:152–64. doi: [org/10.1016/j.jnoncrysol.2004.06.041](https://doi.org/10.1016/j.jnoncrysol.2004.06.041)

Extraction of amorphous silica mesoporous nanoparticles with high surface area from agricultural wastes by sol-gel method

E. Aghashahi Ardestani¹, S.J. Sheikh Zakariaee^{2,*}, M. Hajipour Shirazi Fard^{3,*}, B. Mirshekari³

1. PhD Candidate in Department of Petroleum Engineering, Science and Research Branch, Islamic Azad University (IAU), Tehran, Iran.
2. Assistant Prof. of Department of Earth Sciences, Science and Research Branch, Islamic Azad University (IAU), Tehran, Iran.
3. Assistant Prof. of Department of Petroleum Engineering, Science and Research Branch, Islamic Azad University (IAU), Tehran, Iran.

Abstract: In recent decades, the demand for rice has increased. Therefore, a large amount of rice husks (RHs) is produced. Using RHs in industry can solve the problem of their disposal as waste and prevent environmental pollution. In this research, by using the sol-gel method, amorphous silica nanoparticles obtained from RHs with high efficiency. The synthesized nanoparticles had a higher specific surface area, reactivity, and activity than their conventional crystalline state. An array of analytical techniques was employed to assess the nanoparticles thoroughly, including X-ray diffraction (XRD), Fourier transform of infrared spectroscopy (FTIR), X-ray fluorescence (XRF), field emission scanning electron microscopy (FESEM), energy-dispersive spectroscopy (EDS), transmission electron microscopy (TEM), dynamic light scattering (DLS), BJH, and BET analyses. The results showed that nanoparticles had an amorphous phase and hydroxyl functional groups were placed on their surface. According to DLS analysis, the size distribution of synthesized nanoparticles varied from 5 to 40 nm, and their average size was approximately 14.6 nm. In addition, the results indicated that the purity and specific surface area (SSA) of the nanoparticles were 98.41% and 867 m²/g, respectively.

Keywords: Sol-gel, nanosilica, porous, amorphous, natural materials.

*** Corresponding author Email:**
sheikhzakariaee@srbiau.ac.ir &
m.hajipour@srbiau.ac.ir